

Arctangent特性的 增幅器를 사용한 非線發振器의 解析 (Analysis of the nonlinear oscillator using amplifiers with arctangent funtional characeritics.)

金 秀 重* · 洪 再 根**

(Kim, Soo Joong and Hong, Jae Keun)

Abstract

We have obtained the solution of van der Pol's equation characterized by an arctangent nonlinearity, using the perturbation method by writing periodicity conditions:

$$\begin{aligned} X^{(n)}(2\pi) - X^{(n)}(0) &= 0 \\ X^{(n)'}(2\pi) - X^{(n)'}(0) &= 0 \quad (n=0, 1, 2, \dots) \end{aligned}$$

together with the starting condition:

$$X^{(n)}\left(\frac{\pi}{2}\right) = 0, \quad X^{(n)'}\left(\frac{\pi}{2}\right) = -R^{(n)}.$$

Our results agree with Liapunov's theorem and our calculated value is more similar to Murata's measured value than Murata's calculated value.

1. 序 論

Nonlinear system의 解析에서 van der pol의 方程式은 매우 重要的 役割을 하여왔다⁽¹⁾.

Scott는 發振器에 使用되는 增幅器의 飽和特性을 arctangent函數特性으로 생각해서 처음으로 van der pol의 方程式을

$$\dot{X} + \mu \left[1 - \frac{k}{1+X^2} \right] X + X = 0 \tag{1}$$

와 같은 一般形으로 表現하였고, μ 가 작고 k 가 1보다 조금 큰 경우, 즉 $k=1$ 일 때 X 는 거의 正弦波이므로 $X=R(t)\cos\omega t$ 라 가정하여 averaging方法을 써서 R 에 관한 1次微分方程式

$$\frac{dR}{dt} = \frac{1}{2} \left[-1 + \frac{2K(-1 + \sqrt{1+R^2})}{R_2} \right] R$$

을 求하고 이 式으로부터 $R=0$ 일 때와 $R=2\sqrt{K^2-K}$ 일 때 $dR/dt=0$ 이므로 limit cycle의 振幅이 $R=2\sqrt{K^2-K}$ 된다고 發表하였다⁽²⁾. 한편 Murata는 NOR gate를 使用한 integrated circuit feedback oscillator에 關해 研

究하면서 Scott와는 獨立的으로 (1)式을 얻었고 perturbation method를 使用하여 다음과 같은 解를 求하였다.

$$\begin{aligned} X &= 2\sqrt{K-1} \cos\omega t + \mu \cdot \frac{(K-1)^{3/2}}{4(2K-1)} (3\sin\omega t - \sin 3\omega t) + (\mu^2) \\ \text{인 } \omega &= 1 - \frac{(K-1)^3 + (2K-1)(K-1)^2}{16(2K-1)^2 (3K-2)} \cdot \mu^2 + O(\mu^3) \end{aligned} \tag{2}$$

또한 phase plane上에서 Liapunov의 定理를 適用하여

$$\begin{aligned} \dot{V}(x) &= -\frac{2\mu\dot{X}^2}{1+X^2} [X^2 - (K-1)] \\ \text{인 } V(x) &= X^2 + x^2 \end{aligned} \tag{3}$$

와 같은 式을 求하여, 發振이 일어날 條件으로 $X > 1$ 을 求하고 lower bound로 $\sqrt{K-1}$ 을 提示하였으려. $K=10$ 이고 $\mu=0.365$ 일 때 isocline 方法을 써서 그린 phase plane 軌跡이 그림 1이었다⁽³⁾. (2)式을 살펴보면 K 가 1에 가까운 값을 가질 때 위의 sine項은 무시되므로 $X=2\sqrt{K-1} \cos \omega t$ 가 되어 scott의 경우와는 相異한 結果를 갖는다. K 가 큰 값일 때도 sine項은 振幅에는 영향을 미치지 않으므로 K 가 매우 큰 값일 때 X 의 振幅

*正會員 慶北大學校 工大

**準會員 " 電子工學科

接受日字: 1976年 8月 26日

은 $2\sqrt{K}$ 가 된다.

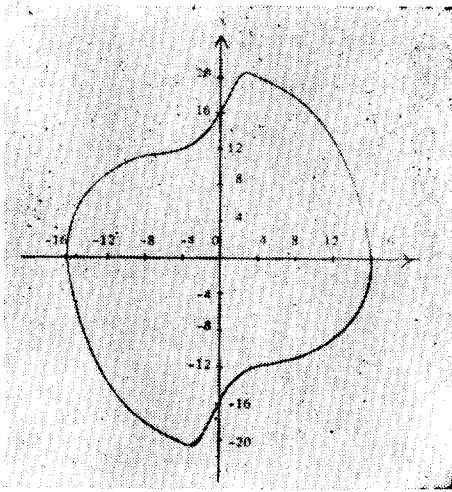


Fig.1 Limit cycle by isocline method

Mulholland는 Liénard plane 上에서 Liapunev의 定理를 적용하여 lower bound로써 $X=K \arctan X$ 를 求하고 이의 近似解로 $R_0(K) = \sqrt{K-1}$ 과 같이 表現하였으며⁽⁴⁾ Honnell, Borgward등과 함께 series reversion method를 使用하여 이를 條正해서

$$K < \frac{4}{\pi} \text{ 이면 } R_0(K) \approx \sqrt{3(K-1)}$$

$$K > \frac{4}{\pi} \text{ 이면 } R_0(K) \approx \frac{\pi}{2}K - \frac{2}{\pi}$$

로 나타내었다⁽⁵⁾. 이 式에 依하면 K 가 큰 값일 때 X 의 振幅은 $\frac{\pi}{2}K$ 보다 커야 한다. 그러나 Murata의 경우는 振幅이 $2\sqrt{K}$ 로써 Mulholland의 경우와는 역시 相異하다

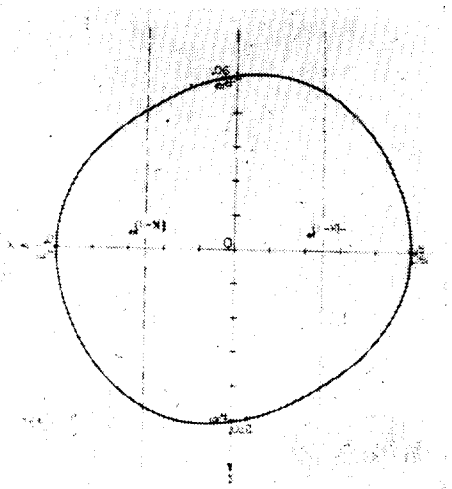


Fig.2 Murata's calculated limit cycle

Murata의 式에 依하면 $K=10$ 일 때 振幅이 6이어야 한다. 그런데 그림 1에서는 振幅이 16정도이다. 즉 Murata의 論文은 스스로의 矛盾을 갖고 있다고 볼 수 있다.

그리고 $K=10, \mu=0.365$ 일 때 Murata의 式에 의해 計算하여 그린 軌跡圖가 그림 2이다.

그림 1과 그림 2는 서로 전혀 다른 결과를 나타내었다. 따라서 perturbation method에 依한 解析이 檢討되어야 할 必要가 있다. 本論文에서는 모든 K 에 關해서 適用될 수 있는 解를 求하고 computer의 結果와 比較하였으며 說明한 각 경우에의 妥當性을 檢討하기로 한다.

2. 本 論

(1)式으로 주어진 非線形微分方程式에 Lindstedt와 Poincaré의 perturbation method를 適用하여 解를 求하기로 하면⁽⁶⁾,

$$X = X^{(0)} + \mu X^{(1)} + \mu^2 X^{(2)} + \dots + \mu^n X^{(n)} + \dots$$

$$X^{(n)''} = \frac{d^2 X^{(n)}}{d\phi^2}, \quad X^{(n)'} = \frac{dX^{(n)}}{d\phi}$$

$$\phi = \omega t$$

$$\omega = 1 + \mu w^{(1)} + \mu^2 w^{(2)} + \dots + \mu^n w^{(n)} + \dots$$

라 두고, (1)式의 非線形微分方程式에 代入하여 μ 에 關하여 정리하면

$$X^{(0)''} + X^{(0)} = 0$$

$$X^{(1)''} + X^{(1)} = -2w^{(1)}X^{(0)''} + \left(\frac{K}{1+X^{(0)2}} - 1\right)X^{(0)'}$$

$$\begin{aligned} X^{(2)''} + X^{(2)} = & -2w^{(2)}X^{(1)''} - (2w^{(2)} + w^{(1)2})X^{(0)''} \\ & + \left(\frac{K}{1+K^{(0)2}} - 1\right)X^{(1)'} \\ & + \left[\frac{K(w^{(1)} - 2X^{(0)} \times X^{(1)})}{1+X^{(0)2}} - 1\right]X^{(0)'} \end{aligned}$$

와 같은 線形微分方程式을 얻는다.

$X^{(n)}(0) = R^{(n)}, X^{(n)'}(0) = 0$ 의 初期條件을 주고, X 와 X' 의 各成分들은 週期函數가 되어야 하므로 $X^{(n)}(2\pi) - X^{(n)}(0) = 0, X^{(n)'}(2\pi) - X^{(n)'}(0) = 0$ 의 條件을 주어 解를 求하면

$$X^{(0)} = 2\sqrt{K(K-1)} \cos \omega t$$

$$\begin{aligned} X^{(1)} = & \sqrt{K(K-1)} \sin \omega t \cdot \left[1 - \frac{1}{4(K-1)} \log \right. \\ & \left. \left(\frac{1+R^{(0)2}}{1+X^{(0)2}} \right) \right] + \frac{\sqrt{K}(2K-1)}{2\sqrt{K-1}} \cos \omega t \cdot \\ & \left[\tan^{-1} \left(\frac{\tan \omega t}{2K-1} \right) - \omega t \right] \end{aligned}$$

$$\omega = 1 - \frac{K-1}{32(2K-1)} \cdot \mu^2 + O(\mu^3)$$

이 된다.

但 $R^{(0)} = 2\sqrt{K(K-1)}$

$$\tan^{-1}\left(\frac{\tan wt}{2K-1}\right) = \frac{\pi}{2} \left[\frac{2}{\pi} wt \right] + \text{fundamental value of } \tan^{-1}\left(\frac{\tan wt}{2K-1}\right)$$

$\left[\frac{2}{\pi} wt \right]$ 는 $\frac{2}{\pi} wt$ 를 넘지 않는 最大整數를 뜻한다.

위의 結果에다 $\mu = 0.365$ 일 때 K 의 여러 값에 대한 X 의 波形을 電算機로 計算하여 그린 것이 그림 3이고 phase plane上的 軌跡을 그린 것이 그림 4이다.

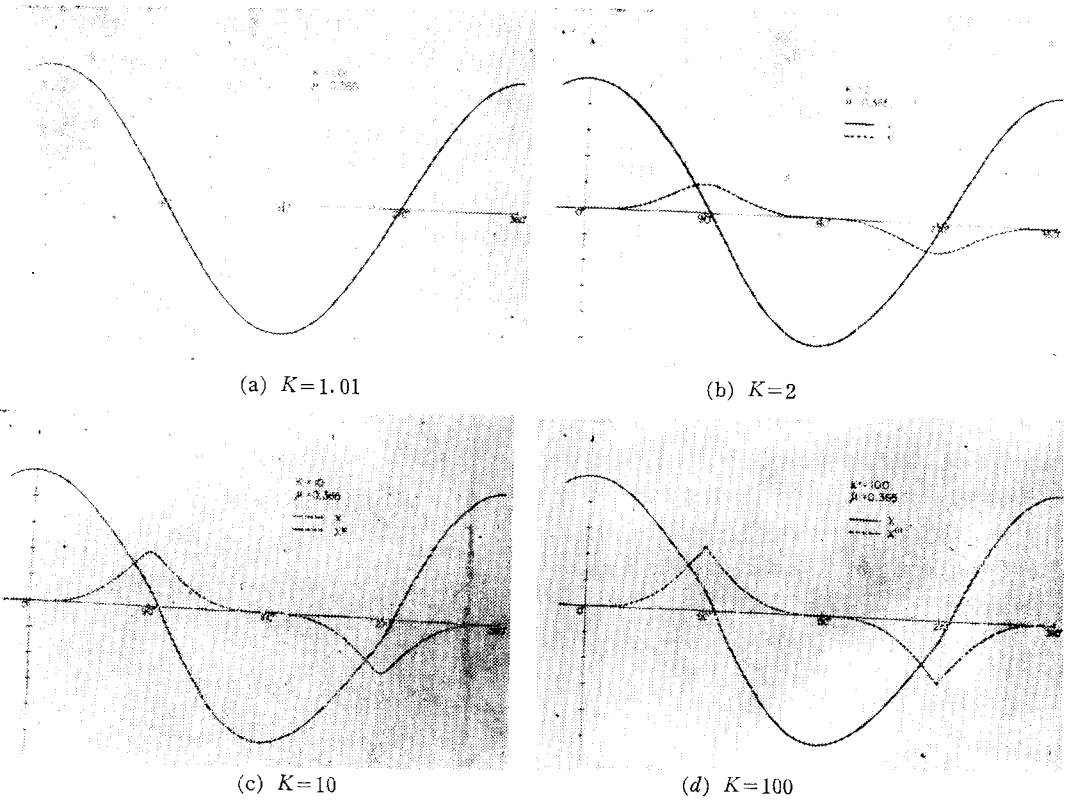
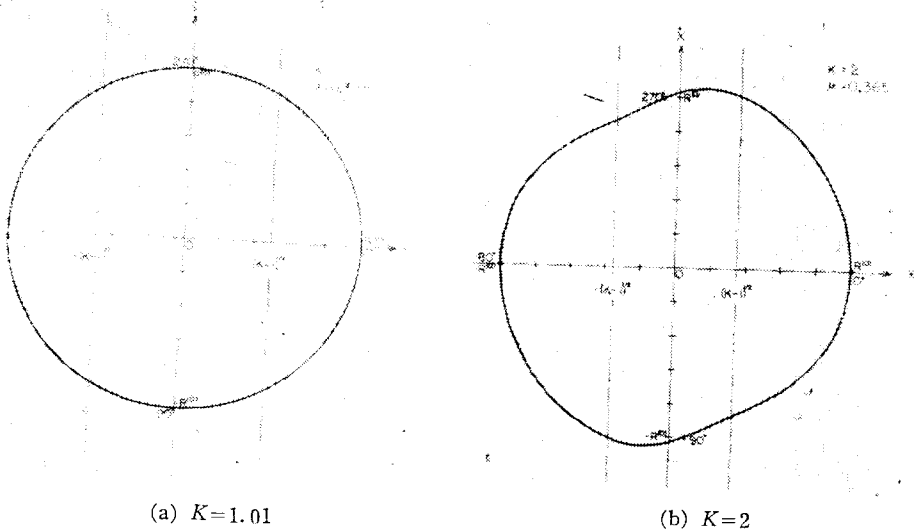


Fig. 3 Calculated wave shapes by Poincaré's method $\mu = 0.365$



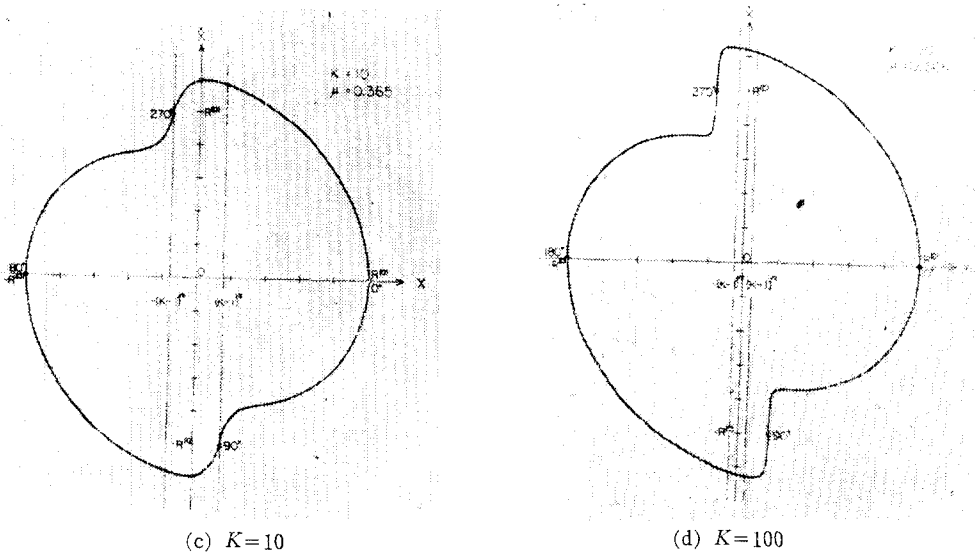


Fig. 4 Calculated phase plane trajectories by Poincaré's method $\mu=0.365$.

$K=1.01$ 일 때는 거의純粹한 正弦波이나 K 의 값이 커질수록 저그림집이 커지고 phase plane 上的 軌跡도 圖에서 크게 벗어나 급격하여 진다.

그러나 그림 2의 軌跡도 (3)式을 만족하여야 하는데 (3)式에 의하면 $|X| > \sqrt{K-1}$ 이면 V 가 감소하고, $|X| < \sqrt{K-1}$ 이면 V 가 增加되어야 하는데, $K=10$ 일 때와 $K=100$ 일 때의 軌跡은 이 條件에서 벗어나음을 볼 수 있다.

여기서는 이를 滿足시켜 줄 수 있는 解를 求하기로 한다. Lindstedt와 Poincaré의 perturbation method 에서는 $X^{(n)}(0) = R^{(n)}$, $X^{(n)'}(0) = 0$ 의 初期條件을 假定 하였으나 그림 2를 살펴보면 $\omega t = 90^\circ$ 를 前後하여 v 가 增加한다. 따라서 $\omega t = 90^\circ$ 일 때의 軌跡이 X 軸上에 있어야 하므로 $X^{(n)}(\frac{\pi}{2}) = 0$, $X^{(n)'}(\frac{\pi}{2}) = -R^{(n)}$ 의 初期條件을 주고 (1)式의 解를 이에 따라 구하면 다음과

같다.

$$X^{(0)} = 2\sqrt{K(K-1)} \cos \omega t$$

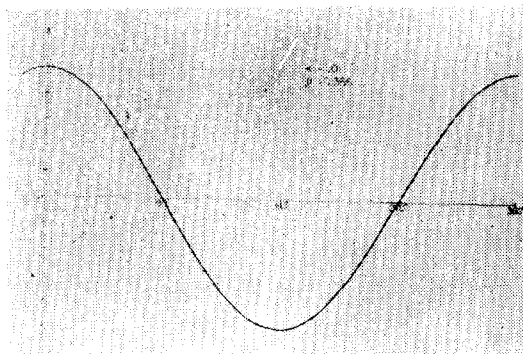
$$X^{(1)} = \frac{\sqrt{K}}{4\sqrt{K-1}} \sin \omega t \cdot \log[1 + 4K(K-1) \cos^2 \omega t] + \frac{\sqrt{K}(2K-1)}{2\sqrt{K-1}} \cos \omega t \cdot \left[\tan^{-1}\left(\frac{\tan \omega t}{2K-1}\right) - \omega t \right] \quad (5)$$

$$\omega = 1 - \frac{K-1}{32(2K-1)} \cdot \mu^2 + O(\mu^3)$$

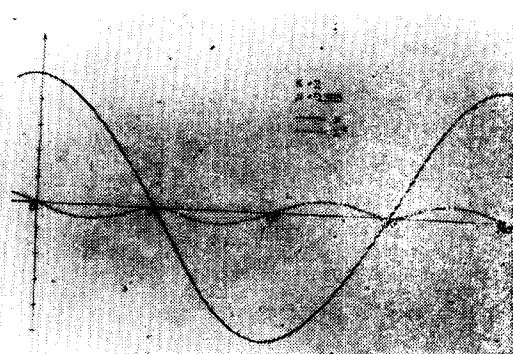
但 $\tan^{-1}\left(\frac{\tan \omega t}{2K-1}\right) = \frac{\pi}{2} \left[\frac{2}{\pi} \omega t \right] + \text{fundamental value}^c$
of $\tan^{-1}\left(\frac{\tan \omega t}{2K-1}\right)$

$\left[\frac{2}{\pi} \omega t \right]$ 는 $\frac{2}{\pi} \omega t$ 를 넘지 않는 最大整數이다.

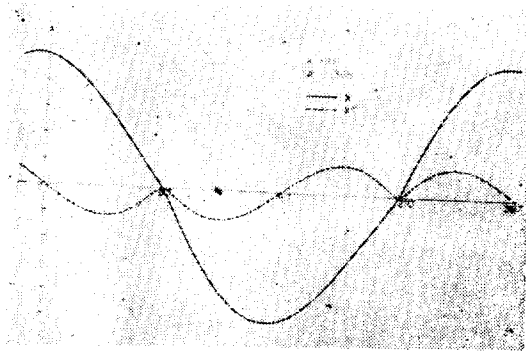
(5)式의 結果로부터 $\mu=0.365$ 일 때 K 의 여러 값에 대한 X 의 波形과 phase plane 上的 軌跡을 그린 것이 그림 5와 그림 6이다.



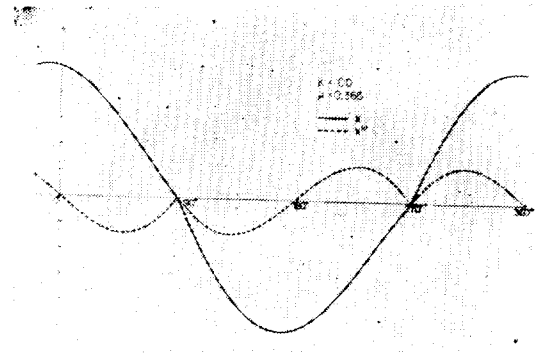
(a) $K=1.01$



(b) $K=2$

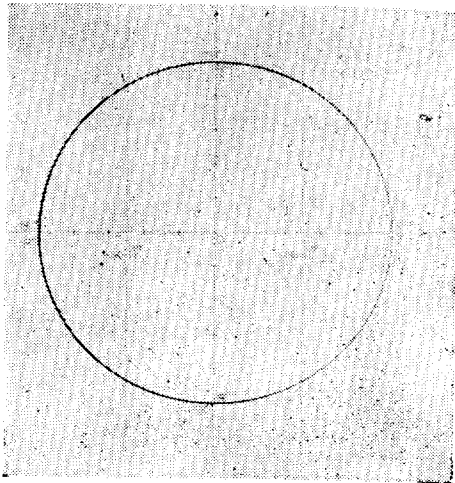


(c) $K=10$

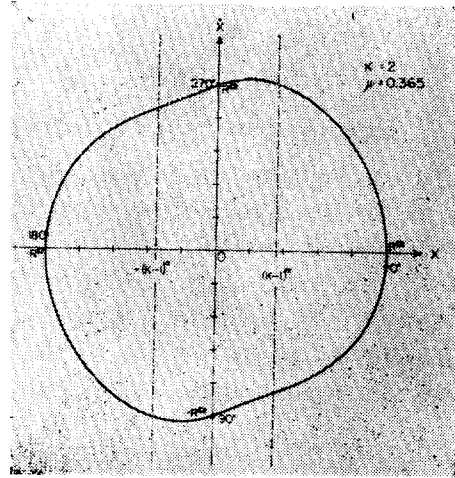


(d) $K=100$

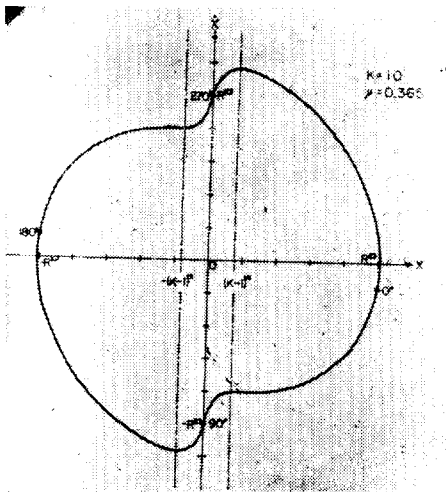
Fig. 5 Calculated wave shapes by our method $\mu=0.356$.



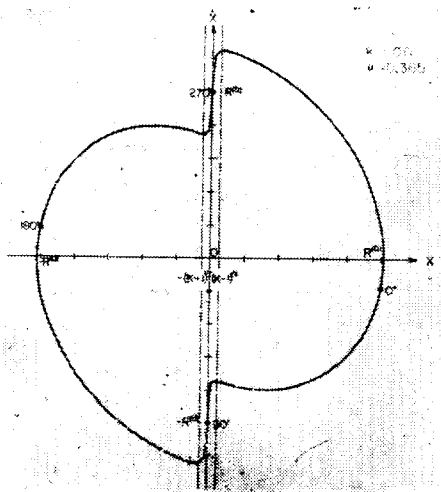
(a) $K=1.01$



(b) $K=2$



(c) $K=10$



(d) $K=100$

Fig. 6 Calculated phase plane trajectories by our method $\mu=0.365$

그림 3과 그림 5를 比較하면 $X^{(2)}$ 이 전혀 다르게 나타났으며 그림 6의 軌跡도 (3)式의 條件을 아주 잘 滿足시켜 줌을 알 수 있다. (4)式과 (5)式을 比較하면 $x^{(1)}$ 이 다를 뿐 $X^{(2)}$ 와 ω 는 變함없다. 이 結果에서는 lower bound, K 에 關係없이 $2\sqrt{K(K-1)}$ 로써, $K \approx 1$ 일 때는 scott의 結果와 一致하고 同時에 Honnell의 結果와도 거의 一致한다.

$\mu = 0.365$ 일 때 K 의 變化에 따른 ω 의 變化를 本論文에 依한 것과, Murata의 式에 依한 것, 그리고 Murata가 實驗으로 測定한 結果를 그린 것이 그림 7이다.

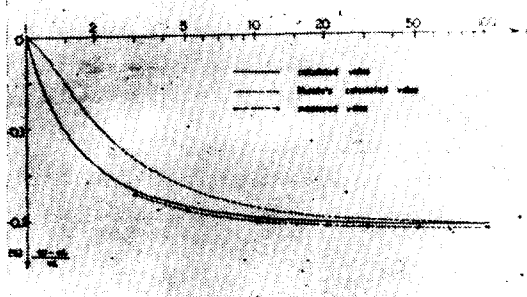


Fig. 7 Relation between the gain parameter and the oscillation frequency.

3. 結 論

以上の 結果를 綜合하면 Murata의 解는 잘못된 것이고, 本研究의 解는 $k \approx 1$ 일 때는 $X^{(1)}$ 이 매우 적어지므로 $X = 2\sqrt{K(K-1)}\cos \omega t$ 가 되어 scott의 경우와 一致할 뿐만 아니라 scott의 경우는 $K \approx 1$ 일 때의 制限된 것이지만 本論文의 結果로는 K 의 값이 클 때에도 여기

의 結果를 適用할 수 있다.

그리고 이러한 非線形發振器의 解析에는 Lindstedt와 Poincaré의 perturbation method에서 初期條件이 $X^{(2)}(\frac{\pi}{2}) = 0, X^{(2)'}(\frac{\pi}{2}) = -R^{(2)}$ 으로 修正되어야 한다.

參 考 文 獻

- (1) B. van der Pol, "On oscillation hysteresis in a triode generator with two degrees of freedom," *Phil. Mag.*, vol. 6, pp. 700-719, 1922.
- (2) P. R. Scott, Jr., "Large amplitude operation of the nonlinear oscillator," *Proc. IEEE (Lett.)*, vol. 56, pp. 2182-2183, Dec. 1968.
- (3) M. Murata, M. Ohta, and T. Namekawa, "Analysis of an oscillator consisting of digital integrated circuits," *IEEE J. Solid-State Circuits (Corresp.)*, vol. SC-5, pp. 165-168, Aug. 1970.
- (4) R. J. Mulholland, "One-parameter independent bound for a two-parameter oscillator," *Proc. IEEE (Lett.)*, vol. 57, p. 1296, July 1969.
- (5) R. J. Mulholland, P. M. Honnell, and K. J. Borgwald, "Bounds for a two-parameter nonlinear oscillator," *IEEE Circuit and Systems*, vol. CAS-21, pp. 96-99, Jan. 1974.
- (6) H. Poincaré, "Les Méthodes nouvelles de la mécanique céleste," Gauthier-Villars, Paris' 1892.